# ZOOLOGISCHE MEDEDELINGEN

UITGEGEVEN DOOR HET

RIJKSMUSEUM VAN NATUURLIJKE HISTORIE TE LEIDEN
DEEL XXXVI, No. 15

28 mei 1959

## PARNASSIANA NOVA. XXVI

## KRITISCHE REVISION DER GATTUNG KAILASIUS

von

#### **CURT EISNER**

Mit Tafeln IX und X

#### Genus Kailasius Moore

Kail. inopinatus inopinatus Kotzsch (Ent. Zeit. v. 54 Nr. 3 p. 18-21) Nordwest-Afghanistan, Firuskuhi-Montes, I & Holotype, I & Allotype, abg. Ent. Zeit. v. 54 Nr. 3 p. 18, 9 &, f. rubroanalis n.c. 2 &, 10 &, alle Paratypen ex c. Kotzsch; Marak, Afghanistan I & ex c. Avinoff (Carnegie-Museum).

Eine distincte, mittelgrosse, & 32-36, \$\begin{array}{c} 35-38 \text{ mm, Art, die im Aussehen} \end{array} trotz der grösseren Augenflecke noch stark an Tad. (Euk.) loxias Püngeler erinnert. Die männlichen Genitalorgane von inopinatus Kotzsch sind aber wenig verschieden von denen der charltonius-Gruppe, sodass die Art wohl besser zu dieser zu ziehen ist. Das VIII. Tergit und der Uncus gleichen denen von Kail. charltonius Gray, während die Valve, die höher ansetzt und die am oberen Hinterende lappenartig ausgezogen ist, mehr der von Tad. (Euk.) imperator Oberthür ähnelt. Dass inopinatus Kotzsch eine bona species und nicht eine subspecies einer der beiden Vergleichsarten ist, muss aus dem besonderen Bau der Sphragis geschlossen werden. Diese ist nicht ringförmig und nur ventral an den Ecken des letzten Sternits angeheftet; sie zeigt ventral eine Mittelrinne, die oralwärts von einer Quererhöhung begrenzt wird. Nähere Einzelheiten können den sehr guten Abbildungen in Ent. Zeit. Nr. 3 p. 19/20 entnommen werden. Flügelfond dicht beschuppt, cremeweiss; Befransung weiss. & im Vorderflügel, der am Vorderrand und an der Wurzel spärlich schwarz gekörnt ist, mit hellem, mittelbreitem Glasband bis über Cu<sub>2</sub>. Submarginale reduziert, von M<sub>2</sub> ab in einzelne Flecke aufgelöst, die meist sehr dünn sind und Cu<sub>2</sub> niemals erreichen. Costalband schmal, bis M<sub>2</sub>, mit strichartigem Fortsatz darüber hinaus. Zellflecke oblong, kräftig. Hinter250 CURT EISNER

randsfleck sehr bescheiden. Hinterflügel mit schmalem, aus fünf einzelnen Elementen bestehendem Glasband. Der glasige Untergrund der Submarginale gerade angedeutet; hinten 4 kleine blaugekernte Randaugen, deren Schwarzumrandung saumwärts verdickt ist. Augenflecke meist mittelgross, mit bräunlicher Prachtfärbung, kleinem Weissspiegel und dünner Schwarzumrandung; die Medianozelle zeigt unten stets ein schwarzes Anhängsel. Die zwei getrennt stehenden Analflecke bescheiden. Hinterrandsschwärze seicht, stark zurückgedrängt. Q im Vorderflügel mit viel stärkerer Schwarzkörnung am Vorderrand und an der Wurzel, kräftigerer Marginale und Submarginale fast bis zum Hinterrand, und gut ausgeprägter fasciata-Binde. Im Hinterflügel das Glasband breiter, die glasige Grundlage der Submarginale kontinuierlich erhalten; Augenflecke grösser als die der &; das zweizellige Analband stets braunpigmentiert. Hinterrandsschwärze ausgedehnter als bei den 3, aber doch bescheiden. Unterseits zeigen der erste Wurzelfleck und die Analflecke in beiden Geschlechtern stets Prachtkernung; bei den 9 ist der siegeli-Fleck mehr oder weniger gut ausgebildet, der auf der Oberseite durchschimmert und bei einem 9 auch oberseits eine Schwarzbeschuppung aufweist.

Kail. charltonius charltonius Gray (Cat. lep. Ins. Brit. Mus. v. 1 p. 77 T. 12 fig. 7,  $\mathfrak{P}$ )

Im Vorderflügel R<sub>2</sub> verschwunden. R<sub>3</sub> entspringt, was für das genus Kailasius Moore typisch ist, nicht wie bei den vorher behandelten genera aus der vorderen Mittelrippe, sondern verwächst in der Nähe des Mittelzellschlusses mit dem Stiel der gegabelten R<sub>4</sub> und R<sub>5</sub>. M<sub>1</sub> entspringt aus der Querrippe der Mittelzelle. Schienenblättchen lang, zugespitzt, die Tibia weit überragend. Das VIII. Tergit des & mit tiefer, gerundeter Einbuchtung; die seitlichen Lappen stark zugespitzt. Uncus mit lateralen Hörnern, aber ohne den Fortsatz, wie ihn Tad. (Euk.) imperator Oberthür zeigt. Valve intermediär zwischen der von Kor. delphius Ev. und Tad. (Euk.) imperator Oberthür. Ädoeagus lang und schlank, mit kleinem orificium, oralwärts verdickt. Sphragis horngelb, im Profil schneckenartig, ventral abgeplattet, caudalwärts bis zum Ovipositor reichend, auf der Bauchseite oralwärts bis zum VI. Sternit ausgebreitet; Sterigma mit 2 Höckern, gut entwickelt.

Die im Britischen Museum befindliche P Type trägt die Fundortbezeichnung: "Chinesische Tartarei". Nach einer Mitteilung von N. D. Riley an O. Bang-Haas darf angenommen werden, dass das Exemplar in Kumaon erbeutet wurde. Von dort, Nila-Valley, liegt mir ein S P vor, das ich im Tausch ex c. Britisches Museum erworben habe. Beide Exemplare sind reicher gezeichnet als die im Tierreich p. 703 fig. 677 abgebildete Type, die mehr Ähn-

lichkeit mit den Vertretern der folgenden Unterart hat. Ich halte es, da die einzelne ? Type nicht karakteristisch für die Stammform zu sein braucht für nützlich, meine beiden Exemplare beschreibend mit der Typenabbildung zu vergleichen, und beginne mit dem 9, das auch 38 mm misst. Flügelfond gelblichweiss, Fransen weiss, wie bei der Type. Im Vorderflügel Glasband breit, sich allmählich verjüngend bis zur Flügelrundung, die Submarginale kräftig, oben sehr breit, sich stark verjüngend bis Ax1. Das Subcostalbändchen, breit bis M<sub>3</sub>, mit dem Hinterrandsfleck verbunden; diese für charltonius typische Art der fasciata-Binde zeigt eine dreiecksförmige Schwarzmarkierung zwischen Hinterrandsfleck, längs der unteren Discoidale zwischen den Zellflecken und M3. Die beiden länglichen Zellflecke stark. Vorderrand, Wurzel, Basis der Mittelzelle gut schwarzgekörnt. Im Vergleich mit der Type sind alle Makeln prägnanter. Im Hinterflügel Glasbinde schmal, fast kontinuierlich. Submarginale mit zwar mässiger, aber breiterer Glasbasis als bei der Type, die 5 Randozellen klein, tiefschwarz, die zweite, dritte und vierte mit bescheidener Blaukernung. Die fahlroten Augenflecke mittelgross, grösser als die der Type, dünn schwarzumrandet, der mediane bohnenförmig, mit schwachem Weissspiegel. Das Analband, in den vorderen Elementen rotgekernt, ist dünn mit der Medianozelle verbunden. Hinterrandsschwärze ausgebreiteter. Der siegeli-Fleck, der bei der Type nicht sichtbar ist, schimmert deutlich durch und wird durch seichte Beschuppung auch oberseits angedeutet.

Das 3, 42 mm, zeigt im Vorderflügel etwa die gleiche Zeichnung wie das  $\mathbb{Q}$ , indessen ein noch breiteres Glasband und eine intensivere Ausprägung des "fasciata-Dreiecks". Im Hinterflügel sind beide Glasbinden breiter, der siegeli-Fleck stärker. Das Costalauge ist schwarz ausgefüllt und reduziert, die Medianozelle ohne weissen Kern. Das Analband ist schmal, nur vorn rotpigmentiert.

subsp. bryki Haude (Soc. ent. v. 27 p. 75/76 fig. 1 und 3)

Nilang-Pass I & Topotype; Bashar State 2 &, f. tenuicincta n.c. I &, f. caeruleocaeca n.c. I &; Tum-Tum-Tang am Spiti-Fluss 2 &, f. ampliusmaculata n.c. I &, f. mediorubrodivisoocellata n.c. I & Holotype dieser Form, f. caeruleocaeca n.c. I &, f. ocelloconjuncta n.c. I &, 7 &, f. tenuicincta n.c. I & f. minuscula n.c. I & 31 mm, I & mit stark verbreiterter Submarginale des Hinterflügels, die nahezu den ganzen Raum bis zu den Ozellen füllt, I & I & in copula; Teuling-Pass 4 &, f. magna n.c. I & 42 mm, 7 &, f. ampliusrubroanalis + magna n.c. I &; Shipki-la I &, f. tenuicincta n.c. 2 &; Hamta-Pass, Spiti I &; Stargyngsa, Bashar State 2 & 2 &; Chumurti, Shilang-Pass I & 2 &; Tibu w. Gartok I & I &.

252 CURT EISNER

Die der Stammform am nächsten stehende, möglicherweise mit dieser sogar zusammenfallende Unterart, jedenfalls soweit es sich um Exemplare vom Nilang-Pass (Topotypus) handelt. Bryk schlägt für diesen Fall im Tierreich p. 705 für die *charltonius* aus dem Spiti-Gebiet den Namen subsp. *gehleni* vor. Zur Beurteilung dieser Frage stehen mir nur das oben aufgeführte 3 vom Nilang-Pass und die Abbildung der 9 Type in Hor. Macr. v. I. T. 3 fig. 12 zur Verfügung. Diese beiden Exemplare ähneln mehr den bei dieser Unterart angeführten Faltern als dem 3 aus dem Nila-Valley. Die aufgezählten Formen geben ein gutes Bild der Variabilität der Unterart; ich habe davon abgesehen, die Verschiedenheit in der Prachtfärbung mitaufzuführen, die von Falter zu Falter wechselnd das gesamte Farbenregister von Mattgelb über Rot, Braun bis Dunkelviolett bestreicht.

Subsp. bryki Haude ist im Vergleich mit der Nominatform dichter beschuppt, wodurch sich alle Zeichnungselemente sehr klar von dem Flügelfond abheben. Als ein Merkmal der Unterart möchte ich im Gegensatz zu Bryks Behauptung im Tierreich, dass das Medianauge scharf schwarz umrandet ist, gerade die auffallend dünne Schwarzbegrenzung beider Ozellen anführen; bei den als f. tenuicincta n.c. erwähnten Stücken ist der schwarze Rand nahezu verschwunden.  $\delta$  im Durchschnitt 37-42 mm. Die lunulae-Zone ist eingeengter, die Schwarzüberstäubung im Vorderflügel schütterer. Die glasige Submarginale des Hinterflügels etwas ausgebreiteter; der siegeli-Fleck unterseits kaum angedeutet, oberseits nicht sichtbar. Augenflecke kleiner, zuweilen beide mit kleinem Weissspiegel. Das gleichfalls prachtgekernte Analband breiter, die Hinterrandsschwärze mehr zurückgedrängt.

subsp. amabilis Bryk & Eisner (Parn. v. II p. 8)

Rotang-Pass, Kangra 1 Pholotype, abg. ibidem f. 3 und Tierreich p. 705 f. 679, 1 & Allotype ex c. Kotzsch.

Die  $\mathbb{P}$  Type, 35,5 mm, gleicht einem bryki- $\mathbb{P}$ , ist aber ärmer gezeichnet und weniger dicht beschuppt. Alle Binden schmäler, besonders dünn die fasciata-Binde und der glasige Teil der Submarginale des Hinterflügels. Randozellen sehr klein, die Blaukernung fast erloschen. Die Costalozelle sehr klein, die Medianozelle mittelgross, nierenförmig, innen mit breiterem schwarzem Rand. Siegeli-Fleck unterseits erhalten. Hinterrandsschwärze stark reduziert. Das  $\mathbb{O}$ , etwas dichter als das  $\mathbb{P}$  beschuppt, zeigt im Vorderflügel etwa die gleiche Zeichnung wie bryki  $\mathbb{O}$ . Im Hinterflügel ist das Glasband breiter und nahezu kontinuierlich. Das Costalauge sehr klein, fast schwarz ausgefüllt, die Medianozelle rund, beide gut schwarz umrandet. Das dünne, zweizellige Analband ohne Prachtpigment. Hinterrandsschwärze bescheiden. Siegeli-Fleck unterseits mässig ausgeprägt.

subsp. eisnerianus Bryk (Parn. v. I Nr. 5 p. 1)

Rupshu, zwischen Chumar und Hanle, I & Holotype, I & Allotype, abgeb. ibidem f. I/2 und Tierreich p. 712 f. 686/686a, 2 & Paratypen; Lanak-la 2 & I & Hanle I & I & Chumar 2 & Shera-la I & ex c. Avinoff; Bara-Lacha I & bei dem ich indessen eine Fundortverwechslung annehme, und das zu der folgenden Unterart gehören dürfte, alle (bis auf das & aus Shera-la) ex c. Kotzsch.

Eine sehr grosse, & \( \frac{1}{2} \) 39-44 mm, dichtbeschuppte, markant gezeichnete, distincte Unterart, für die das karakteristischste Merkmal — siehe Abbildung der Typen —die besonders prägnante Zeichnung der Hinterflügelunterseite ist, wie sie ähnlich innerhalb der charltonius-Gruppe nur noch subsp. ducalis Le Cerf aufweist, der starke siegeli-Fleck, der atroguttata-Fleck und die breite Schwarzumrandung des Zelldiscus zwischen Hinterrandsschwärze, die gleichfalls intensiv ist, und dem siegeli-Fleck. Diese Zeichnungen sind trotz der dichten Beschuppung auch oberseits deutlich sichtbar. Die Flügeloberseite erinnert indessen doch mehr an die Nominatform, mit der Avinoff Exemplare, die er in diesem Gebiet erbeutet hat, vergleicht. Vorderflügel mit schmalem Glasband bis zur Flügelrundung, gut ausgeprägter lunulae-Zone, mittelkräftiger Submarginale bis kurz vor dem Hinterrand. Subcostalband schmal; der Hinterrandsfleck geht in der mässig ausgebildeten fasciata-Binde auf, die zwischen M3 und Cu1 besonders dünn und oft sogar unterbrochen ist. Vorderrand, Wurzel und Discus reich schwarzbestäubt. Hinterflügel mit schmalem, internerval unterbrochenem Glasband; glasiger Teil der Submarginale schmal, die hinteren 4 Randozellen, zuweilen auch die erste, mit deutlicher Blaukernung; Grundsubstanzzone zwischen den Binden und auch zwischen Submarginale und Augenflecken kontinuierlich erhalten. Costalozelle sehr klein, die Medianozelle mittelgross bis gross mit kleinem weissem Kern und innen verdickter Schwarzumrandung. Das in der Regel zweizellige Analband schmal, bei den & ohne oder mit, bei den \( \text{\$2} \) stets mit Prachtfärbung; diese eisenoxydrot bis braunviolett.

subsp. serenissimus Bryk (Parn. v. II p. 49)

Pirpanjal, Kaschmir mer. 1 & Paratype; Kaschmir mer. 1 & Ideotype; Kaschmir 1 &.

Steht der weiter unten behandelten subsp. deckerti Verity nahe, weist indessen eine viel bescheidenere fasciata-Binde auf, die bei meinem  $\mathcal{P}$  zwischen  $M_3$  und  $Cu_2$  gerade noch durch schüttere Schwarzbeschuppung angedeutet ist; bei diesem  $\mathcal{P}$  auch das Costalbändchen sehr dünn. Augenflecke kleiner, Hinterrandsschwärze ausgedehnter. Siegeli-Fleck unterseits mässig entwickelt, scheint oberseits durch.

subsp. otto Bryk & Eisner (Parn. v. II p. 48)

Gya-Ladak, Tagalang-Pass 1 & Holotype, 1 & Allotype, 1 &, f. costalisnigroocellata n.c. 1 &, 7 & Paratypen; Parang-Pass 2 & 3 &, Ideotypen; Rupshu, Photi-Pass 1 &, f. costalisnigroocellata n.c. 1 &, 2 &, f. ampliusrubroanalis n.c. 1 &, Ideotypen.

Eine kleine,  $\delta$  2 33-36 mm, dünnbeschuppte Unterart, die zwischen den subsp. bryki Haude und deckerti Verity steht, aber beider prägnante Zeichnungen misst. & mit schmalem Glasband bis zur Rundung des Vorderflügels, etwas kürzerer, kräftiger, scharf gezackter Submarginale, bis M2 breitem, zwischen M2 und M3 stark verschmälertem Subcostalband, das arttypische Dreieck, das den Hinterrandsfleck in sich aufnimmt, meist gut entwickelt. Vorderrand und Wurzel spärlich bestäubt. Im Hinterflügel Glasband, internerval unterbrochen, deutlich erhalten. Das glasige Bett der Submarginale breit, deutlich von der Marginale durch die Grundsubstanz getrennt, endet kurz vor den Augenflecken; die Randozellen klein, mit schwachen Blaukernen. Die Costalozelle klein, das Medianauge mittelgross mit kleinem Weissspiegel oder auch ohne diesen; Umrandung aussen sehr dünn, innen verdickt. Prachtfarbe gelblich bis mattrot. Siegeli-Fleck fehlt. Analband zweizellig, rot ausgefüllt, meist mit Medianauge verbunden. Hinterrandsschwärze zurückgedrängt. 9 schütterer beschuppt als die 3, im Vorderflügel mit schwächer ausgeprägter "fasciata-Zeichnung", im Hinterflügel mit grösseren Augenflecken und breiterer Submarginale, die meist die Ozellen berührt.

subsp. deckerti Verity (Rhop. Pal. p. 85, T. XIX, fig. 14, 9)

Lamayuru, w. Leh, Kaschmir 2 & 2 \, f. minuscula n.c. 1 \, Potu-la-Pass 3 \, f. ocelloconjuncta n.c. 2 \, f. costalisnigroocellata n.c. 2 \, f. f. supracostalisocelloextincta n.c. 1 \, 6 \, 6 \, f. bruneoocellata n.c. 2 \, f. flavoocellata n.c. 1 \, 2 \, f. f. supracostalisocelloextincta n.c. 1 \, 6 \, 6 \, f. bruneoocellata n.c. 2 \, f. flavoocellata n.c. 1 \, 6 \, f. costalisnigroocellata n.c. 1 \, 6 \, 4 \, f. ampliusrubroanalis n.c. 1 \, f. costalisnigroocellata n.c. 2 \, 6 \, 4 \, f. ampliusrubroanalis n.c. 1 \, 7 \, Tagmachig-Pass, n.ö. Chalu, 2 \, 6 \, f. costalisnigroocellata n.c. 1 \, 7 \, Tagmachig-Pass, n.ö. Chalu, 2 \, 6 \, f. costalisnigroocellata n.c. 1 \, 7 \, Leh 2 \, 6 \, 1 \, 6 \, minuscula n.c. 1 \, 7 \, Nira, Dzanskar-Kette 2 \, 6 \, 1 \, 6 \, mit stark nierenförmig eingeengter Medianozelle, 2 \, 7 \, Khardong-Pass 1 \, 6 \, 4 \, 9 \, Mataiyan 2 \, 6 \, 1 \, 7 \, Pense-Pass, Dzanskar-Kette 2 \, 6 \, 2 \, 9.

Bryk erklärt in Parnassiana v. II p. 49 diktatorisch: "Die subsp. deckerti Verity stammt aus Chitral; daran ist nichts mehr zu rütteln. Im Britischen Museum tragen die der Type ganz gleichenden Stücke den näheren Fundort: Chitral-Kashmir, Skishki-Kuk." O. Bang-Haas gibt in Hor. Macr. p. 37

Lamayuru, w. Leh, als den Topotypus der Unterart an. Verity spricht in Rhop. Pal. p. 85, sich auf die Abbildung des 9 fig. 14 T. XIX beziehend, von der schönen charltonius-Serie in c. Deckert aus Kaschmir, sagt dann aber auf p. 317, dass seine deckerti in Chitral fliegt. Da die ? Type ex c. Deckert von Sheljuzhko erworben wurde, habe ich ihn, um dieses Dunkel aufzuklären, befragt, woher die Type stammte. Seine Auskunft lautet: "Dass die ganzen Originalserien einschliesslich der von Verity abgebildeten 9 Type Einheitszettel tragen "Typus Kaschmir 4200-4800 m". Später entstanden Zweifel an der Richtigkeit dieses Fundorts. Die Angabe von Verity, dass die Unterart in Chitral fliegen soll, scheint mir, wie auch Sie richtig meinen, nicht zu stimmen, zumal die Art dort durch ducalis spez. occidentalis vertreten ist. Erwähnen möchte ich nur noch, dass ich mich erinnern zu können glaube, dass ich von Bang-Haas Stücke der Art, die der subspecies sehr nahe kommen, von Shamm, Ladak inf. erhielt. Ob dieser der richtige Fundort (der Typen? ego) ist, muss dahingestellt bleiben." Für mich ist damit die Streitfrage geklärt, vor allem, weil meine unter dieser Unterart eingereihten, oben aufgeführten Exemplare gut mit den Abbildungen der ? Type und der & Paratype im Tierreich p. 708 f. 682 ex c. Sheljuzhko übereinstimmen.

Subsp. deckerti Verity ist eine grosse, ∂ ♀ 38-42 mm, Unterart mit markanten Zeichnungselementen. 3, dicht weiss beschuppt, im Vorderflügel, dessen Vorderrand und Wurzel spärlich gekörnt sind, mit mittelbreitem Glasband bis zur Flügelrundung; Submarginale kräftig bis sehr kräftig; das Subcostalband, bis M2 breit, verjüngt sich von da an und findet seine Fortsetzung in der gut ausgeprägten fasciata-Binde, mit der der Hinterrandsfleck zusammenfliesst; das arttypische Dreieck häufig pastos ausgebildet, die untere Discoïdale erreichend. Die oblongen Zellflecke kräftig, zuweilen auch der basipunctata-Fleck erhalten. Im Hinterflügel das schmale, internerval unterbrochene, Glasband meist die grossen, lichtblau gekernten, 5 Randozellen berührend; die dunkel verglaste Submarginale breit. Costalauge klein, halbmondförmig, häufig schwarz ausgefüllt. Medianozelle gross, aussen dünn, innen dick schwarzumzogen. Analband schmal, die beiden ersten Elemente mit Prachtkernung, überwiegend ein drittes schwarzes Element vorhanden, das bis zum Medianauge reicht. Siegeli-Fleck fehlt meist, selten gut entwickelt. Hinterrandsschwärze bescheiden. Q, dünner beschuppt, mit helleren Binden des Vorderflügels, die arttypische Dreiecksbestäubung zurückgedrängt; im Hinterflügel berührt die glasige Submarginale, stark verbreitert, beide Ozellen; die costale gleichfalls klein, die mediane gross bis sehr gross, ohne oder mit bescheidenem Weissspiegel. Siegeli-Fleck unterseits öfter angedeutet. Analband oft stark verbreitert, seltener zweizellig, meist mit dem Medianauge verbunden; zuweilen auch das dritte Element prachtgekernt. Hinterrandsschwärze reduzierter. Die Prachtfarbe reicht in beiden Geschlechtern von hellgelb bis dunkelkarminrot.

subsp. katheae-ruthae Bryk (Wiss. Erg. Ned. Exp. Karakorum v. I p. 339 fig. 1)

nach einem einzelnen & aus Lamayuru aufgestellt, kann höchstens eine Individualform sein und ist als subspecies ein Synonym von subsp. deckerti Verity.

subsp. ella Bryk (Parn. v. II p. 49)

Bura, Deosai, Baltistan I &, f. conjunctoanalis n.c. I &, 2 \, f. brunneoocellata Bryk & Eisner I \, Holotype dieser Form, f. ampliusrubroanalis
Bryk & Eisner I \, Holotype dieser Form, alle Paratypen; Noun-Koun,
Dzanskar sept. I & I \, Gurais I \, Burzil-Pass I \, I \, Haidi-Baltistan
2 \, f. ocelloconjuncta n.c. I \, f. minuscula n.c. I \, 5 \, f. ocelloconjuncta
n.c. I \, f. costalisnigroocellata n.c. I \, Barai-Nala, Kichen Gunga Valley
I \, Q.

Eine mittelgrosse, & \( \frac{2}{3}\) 36-41 mm, zwischen der vorbehandelten und subspecies ducalis Le Cerf stehende Unterart. \( \frac{3}{3}\) im Vorderflügel etwa wie die deckerti \( \frac{3}{3}\) gezeichnet. Im Hinterflügel ist der dunkle, glasige Grund der Submarginale besser durch die Grundsubstanz aussen und innen abgeschieden. Costalauge überwiegend schwarz ausgefüllt, Medianauge zwar gross, im Durchschnitt aber doch wohl kleiner als bei subsp. deckerti Verity. Siegeli-Fleck unterseits mässig ausgeprägt. Analband dünn, zwei- bis dreizellig, die vorderen Elemente meist rotpigmentiert. \( \frac{2}{3}\) mit stärker entwickelter fasciata-Zeichnung als bei der Vergleichsunterart. Analband vorn besonders breit, rotgekernt; daran schliesst sich in der Regel ein schwarzes, discuswärts zugespitztes Element an. Hinterrandsschwärze in beiden Geschlechtern bescheiden.

subsp. robert-jan (subsp. nova)

Hindukusch, Baroghila-Pass 1 & Holotype, 1 & Allotype, 1 & Paratype; Yasin 1 & Paratype, alle ex c. Bang-Haas.

Steht der vorher behandelten Unterart sehr nahe, von der sie sich wie folgt unterscheidet: fasciata-Zeichnung im Vorderflügel schwächer ausgeprägt; im Hinterflügel Costalauge stets rot; das glasige Band der Submarginale berührt nahezu die Ozellen und das Analband, ist aber von der Marginale deutlich geschieden.  $\delta$  9 38-41 mm.

subsp. corporaali Bryk (Wiss. Ergebnisse Niederl. Exp. Karakorum v. I p. 337/38 T. 1 fig. 2)

Sasser-Pass, Karakorum, I & Allotype, f. costalisnigroocellata n.c. I &

Paratype, 6 \( \), f. ampliusrubroanalis n.c. 3 \( \), f. tripicta n.c. (f. chrysopicta Bryk) 1 \( \), f. tripicta + rubrocatenata Bryk 1 \( \); Changlung, Sasser-Pass 1 \( \); Karakorum f. costalisnigroocellata n.c. 1 \( \) Paratype, f. ocello + analisconjuncta n.c. 1 \( \) Paratype.

Eine kleine, & \( \frac{1}{2} \) 33-37 mm, im männlichen Geschlecht mässig, im weiblichen Geschlecht sehr dünn beschuppte Unterart, die der Autor nach einem, noch dazu stark zerfetztem, ? beschrieben hat, die aber doch eine bona subspecies ist. Ihre karakteristischen Merkmale sind das verstärkte Auftreten der meist ziegelroten Prachtfarbe — siehe die oben erwähnten formae —, vor allem aber die breite, dunkelglasige Submarginale des Hinterflügels; diese füllt in der Regel nach innen das gesamte Feld bis zum Analband und den Ozellen, nach aussen ist sie deutlich durch die Grundsubstanz von der in strichförmige Elemente aufgelösten Marginale getrennt. 3 im Vorderflügel mit schmalem, sich stark verjüngendem Glasband bis zum Hinterrand, mittelkräftiger, fast ebenso langer Submarginale, arttypisch entwickelter Costalband- und fasciata-Zeichnung. Vorderrand und Wurzel mässig gekörnt. Zellflecke normal ausgebildet. Im Hinterflügel ein kleines Costalauge mit oder ohne Prachtkern, eine mittelgrosse Medianozelle mit Andeutung von Weissspiegel; siegeli-Fleck fehlt. Das Analband dünn, die beiden ersten Elemente rotpigmentiert, der ampliusmaculata-Fleck schwarz. Hinterrandsschwärze nicht sehr ausgebreitet, füllt aber doch fast die halbe Zelle. Die 2 im Vorderflügel mit vorn sehr breiter Submarginale und pastosem Costalband, dagegen schwächerer fasciata-Binde. Im Hinterflügel ist das Costalauge stets prachtgekernt, die Medianozelle mittelgross bis gross, das Analband sehr breit, meist mit dem Medianauge verbunden, zwei- bis drei Elemente mit Prachtfarbe. Die Randozellen sind in beiden Geschlechtern klein, mit bescheidener Blaukernung.

Hier seien erwähnt:

Tchang-Tschen-Mo-Kette 3 & 1 \, f. ampliusrubroanalis n.c. 2 \, deren habitus intermediär zwischen dem der Vertreter der subspecies corporaali Bryk und deckerti Verity ist.

subsp. ducalis Boullet & Le Cerf (Bull. Soc. ent. France 1912 p. 143)

Chitral I & I & Typen von subsp. occidentalis Bryk = subsp. ducalis Boullet & Le Cerf (Jahrb. Ver. Nassau 1912 p. 10); Madaglasht, Chitral 3 & Topotypen; Chitral I & 2 &; Pamir (!) I &; Khagan-Hazara I &; Thajiwas-Valley, Sonamarg, N. O. Kaschmir 2 & 4 &, leg. C. Wyatt.

Eine grosse, & Q 38-46 mm, Unterart mit prägnanter Zeichnung. & im Vorderflügel mit schmalem bis mittelbreitem Glasband bis zur Flügelrun-

258 CURT EISNER

dung, kräftiger Submarginale bis etwa Ax I. Vorderrand, Wurzel gut schwarz gekörnt, basispunctata-Fleck zuweilen ausgeprägt. Costalband, fasciata-Zeichnung stark entwickelt; Zellflecke sehr kräftig. Im Hinterflügel mit schmalem, internerval unterbrochenem Glasband, mässig breiter Submarginale, die deutlich durch die Grundsubstanz von der Marginale und den Augenflecken getrennt ist; Randozellen gross, mit bescheidener Blaukernung. Der unterseits gut ausgebildete siegeli-Fleck schimmert oberseits durch. Costalauge klein, mit oder ohne Prachtfärbung, die ockerfarbig bis ziegelrot ist; Medianauge gross, gut schwarzumrandet, mit kleinem weissem Kern. Analband mässig, die beiden vorderen Flecke überwiegend prachtpigmentiert, ein Ansatz eines dritten schwarzen Flecks meist vorhanden. Hinterrandsschwärze tiefer und ausgebreiterer, unterseits fast so stark ausgebildet und die Zelle umgreifend wie bei subsp. eisnerianus Bryk.  $\mathfrak P}$  mit stark zurückgebildeter fasciata-Zeichnung, grösseren Augenflecken, breiterem, meist zweizelligem Analband und weniger ausgebreiteter Hinterrandsschwärze.

subsp. wernickei Kotzsch (Parn. v. IV p. 6)

Nuksan-Pass, Ost-Hindukusch, I & Holotype, I & Allotype, abg. ibidem fig. 7/8, 5 ♂ 10 \, trs. f. ocelloconjuncta n.c. 3 \, alle Paratypen ex c. Kotzsch. Eine kleine, & 34 9 36 mm, seichtbeschuppte Unterart, die geographisch und habituell den Übergang von den vorher behandelten charltonius-Unterarten zu subsp. romanovi Gr. Gr. bildet. S im Vorderflügel, der längs des Vorderrandes und an der Wurzel schütter grau gekörnt ist, mit mittelbreitem, hellem Glasband bis etwa Ax 1, kräftiger, etwas kürzerer Submarginale; die beiden oblongen Zellflecke tiefschwarz, dagegen das verschieden breit ausgeprägte Submarginalband hell und die mässig entwickelte fasciata Zeichnung grau. Im Hinterflügel Glasband, internerval unterbrochen schmal, der glasige Grund der Submarginale zurückgebildet; Randozellen klein mit bescheidenem blauem Kern. Siegeli-Fleck unterseits gut ausgeprägt, schimmert durch. Costalauge klein, stets schwarz ausgefüllt, im Gegensatz dazu das ovale Medianauge gross, meist ziegelrot pigmentiert, aussen sehr dünn, innen etwas dicker schwarz umzogen, überwiegend mit sehr kleinem weissem Kern. Das zweizellige, mässig breite Analband ohne Prachtfarbe. Hinterrandsschwärze stark zurückgebildet. 9 im Vorderflügel mit nicht so tief schwarzen Zellflecken und sehr dünner, diffuser fasciata-Zeichnung; im Hinterflügel mit überwiegend prachtgefärbtem Costalauge — 4 von den 13 9 f. costalisnigroocellata n.c. —, sehr grosser, runder Medianozelle, breiterem, rotgekerntem, zweizelligem Analband; ein dritter schwarzer Analfleck mehr oder weniger deutlich ausgeprägt. Sonst gleichen die ♀ stark den ♂.

subsp. voigti O. Bang-Haas (Hor. Macr. Lep. v. I p. 38 T. 3 f. 13, 2)

Afghanistan 1 & ex c. Oberthür, Allotype.

O. Bang-Haas hat die Unterart nach 7 9 vom An-Suchas-Pass, Pagmann-Montes, 30 km n. von Kabul, aufgestellt und vergleicht sie mit subsp. darvasica Av., der sie am nächsten stehen soll. Der Autor schreibt, "dass er aus diesem Gebiet so prächtig gezeichnete charltonius wie autocrator Av. erwartet hätte und deshalb enttäuscht war, die zeichnungsärmste aller charltonius-Rassen vorzufinden". Inzwischen hat die Entdeckung der vorher behandelten Unterart erwiesen, dass die Zeichnung von charltonius auf dem Wege vom Himalaya zum Transalai immer ärmer wird. O. Bang-Haas sagt in seiner Diagnose lediglich: "Die schwarzen Zeichnungen der Vfl. dunkler wie bei vaporosus, die Costalbinde ist bei keinem einzigen der mir vorliegenden ? unterbrochen. Auffallend ist ferner die Kleinheit und fast kreisrunde Form der Medianozelle mit einem breiten schwarzen Ring. Die 5 Marginalozellen sind stark blau bestäubt". Zu dieser Beschreibung passt mein & mit der allerdings vagen Fundortbezeichnung "Afghanistan". Grösse 36 mm. Im Vorderflügel breites Glasband bis zur Flügelrundung, stark reduzierte Submarginale bis uber Cu<sub>1</sub>, schmales Costalband mit diffuser fasciata-Verbindung zu dem gut ausgeprägten Hinterrandsfleck. Die Zellflecke sind wohl nur individuell-aberrativ so stark ausgefallen, dass sie fast den halteres-Zustand zeigen. Vorderrand und Wurzel äusserst schütter gekörnt. Im Hinterflügel Glasband in Form von 5 strichförmigen Elementen ausgebildet. Der glasige Teil der Submarginale fast verdrängt, die Randozellen klein, die 3 mittleren blaugekernt. Costalauge relativ gross, dieses sowie das mittelgrosse, ovalförmige Medianauge, gut schwarzumrandet; Prachtfärbung braun. Siegeli-Fleck unterseits gerade angedeutet. Analband schmal, zweizellig, schwarz, ein dritter Fleck schwach erhalten. Hinterrandsschwärze normal entwickelt.

subsp. romanovi Gr. Gr. (Romanoff, Mém. Lép. v. 2 p. 236/37)

Aram-Kungei, Transalai 2 & 3 \( \), f. minuscula fi.c. I \( \), Paratypen, 2 \( \), f. rubroocelloconjuncta n.c. I \( \), f. costalisnigroocellata n.c. 2 \( \), f. geminella Bryk I \( \) Holotype = Medianaugenfleck in 2 an M2 angrenzende, aber deutlich getrennte Flecke zerlegt, I \( \), f. rubroocellata n.c. I \( \), 6 \( \), trs. f. halteres n.c. I \( \), f. rubrocatenata n.c. I \( \) Holotype abg. Tierreich p. 700 fig. 675, 2 \( \), Topotypen; Transalai 2 \( \) 2 \( \); Kysyl-Art Pass, Transalai I \( \); Alai I \( \) I \( \); Fergana 2 \( \), f. geminella Bryk I \( \), f. vinosa n.c. I \( \), 3 \( \); Margelan (?) I \( \), f. geminella Bryk I \( \); Pamir I \( \), trs. f. halteres n.c. I \( \), f. costalisnigroocellata n.c. I \( \), f. nigroocellulata n.c. I \( \), 4 \( \).

Eine grosse, & Q 37-43 mm, dicht gelblichweiss beschuppte Unterart mit sehr klarer Zeichnung. & im Vorderflügel mit schmalem Glasband bis etwa  $Ax_1$ , in der Regel zwischen  $M_2$  und  $M_3$  unterbrochener Submarginale, die

vor oder bei Cu<sub>2</sub> endet. Subcostalband schmal, ohne oder durch schwache Graubestäubung angedeutete fasciata-Binde. Hinterrandsfleck in Form eines schräggestellten Strichs deutlich ausgeprägt. Die Zellflecke oblong, häufig pastos verdickt. Vorderrand und Wurzel sehr schwach gekörnt. Im Hinterflügel Glasbinde, in einzelne Bögen aufgelöst, schwach erhalten; der glasige Grund der Submarginale stark verdrängt. Randozellen uneinheitlich in Grösse und Blaukernung ausgebildet. Siegeli-Fleck unterseits mässig entwickelt, oben ein wenig durchschimmernd. Prachtfärbung der Ozellen von gelblich-braun bis lilarot; das kleine fast dreieckige Costalauge nur selten schwarzgefüllt, das grosse Medianauge oval-kreisrund, innen dick- aussen dünn schwarz-umrandet, mit bescheidenem weissem Kern; der ocelloconjuncta-Steg zuweilen durch einen Strich zwischen R4 und M3 angedeutet. Das dünne Analband zweizellig, prachtpigmentiert; ein dritter einzelstehender Fleck meist vorhanden, aber selten mit Prachtkern. Hinterrandsschwärze normal ausgebildet. Unterseits haben die Wurzelflecke bei nahezu völliger Verdrängung der Prachtfarbe deutliche weisse Kerne. Die 2 zeigen im Vorderflügel etwas breitere, hellere Glasbinden; auch die Zellflecke sind weniger dunkel. Im Hinterflügel sind die Randozellen, die Augenflecke grösser, der ocelloconjuncta-Steg regelmässig und besser ausgeprägt, das dreizellige Analband breit bis sehr breit. Bemerkenswert die häufige Rötung des ocelloconjuncta-Stegs und des dritten Analbandelements, die in der f. rubrocatenata Bryk ihren Höhepunkt findet.

subsp. vaporosus Av. (Hor. Soc. ent. Ross. v. 40 Nr. 5 p. 16 T. 2 fig. 2) Vischarvi-Pass, Darwas 1 & 1 Paratypen, abg. Tierreich p. 715/16 fig. 688/688a; Darwas 1 & 3 P.

Steht der vorher behandelten Unterart sehr nahe, von der sich *vaporosus* Av. im wesentlichen durch folgende Merkmale unterscheidet: Die dunkle Bestäubung im Vorderflügel tritt noch mehr zurück, dagegen ist der glasige Teil der Submarginale des Hinterflügels etwas mehr ausgebreitet. *Ocelloconjuncta*-Steg fehlt bei den  $\delta$  und ist bei den  $\varphi$  gerade angedeutet.  $\delta$  35-38,  $\varphi$  37-40 mm.

Dem Grundsatz folgend, die "Kritische Revision" auch zu einem wissenschaftlichen Katalog meiner Sammlung zu machen, will ich noch den Zugang an Geäderaberrationen aufführen. Ich halte mich dabei an die Einteilung, die Bryk und ich in unserer Arbeit "Geäderaberrationen in c. Eisner" in Parnassiana v. IV p. 21-38 gebraucht haben. Diese Geäderabweichungen festzustellen, ist im Hinblick auf die Artenbildung und die Entwicklung der Zeichnungselemente innerhalb des Genus *Parnassius* eine meines Erachtens überaus wichtige Aufgabe.

#### METATHESIS

- f. seitzi Bryk = Cu<sub>1</sub> und Cu<sub>2</sub> verwachsen am Discus
- 1 & P. mnemosyne lithavia Bryk (rechts)
- 4 &P. apollo nitriensis Issekutz
- I  $\delta$  I  $\mathcal{P}$ . apollo melliculus Stich.
- 1 & P. apollo leovigildus Fruhst.
- 1 & P. apollo strambergensis Skala
- 2 & P. apollo strecznoensis Pax
- 1  $\mathcal{P}$ . apollo melliculus Stich.
- 1 & P. apollo linnaei Bryk
- I ∂ P. tianchanicus Oberth.
- f. seitziides Bryk & Eisner = Cu<sub>1</sub> und Cu<sub>2</sub> gabeln aus einem gemeinsamen Stiel
  - 4 3 P. apollo nitriensis Issekutz
  - 1 & P. apollo leovigildus Fruhst.
  - 2  $\delta$  1  $\mathcal{P}$ . mnemosyne pyraenaica Tur.
  - 1 ? P. apollo bartholomaeus Stich.
  - 1 & P. strecznoensis Pax
  - f. furculata Bryk & Eisner + f. sauteri Wenzel
  - 1 & P. apollo candidus Vrty.
- f. sauteri Wenzel  $= M_2 + M_3$  entspringen im Hinterflügel an derselben Stelle des Discus
  - 1 & P. apollo rivalis Belling (+ f. seitzi Bryk)
- f. rebeli Bryk =  $\rm M_2 + M_3$  entspringen auf beiden Flügeln an der gleichen Stelle des Discus
  - 1 ♀ P. apollo L. Paratypus ex c. Bryk
  - 1  $\mathcal{P}$ . apollo imperialis Bryk

Verschiedenartige Deformationen von Flügelform und Zeichnung durch Metathesis des Geäders:

- 1  $\mathcal{P}$  P. bremeri hakutozana Mats.
- 1 3 P. apollo sevensis Kesenheimer
- 1 ? P. apollo phonolithi Bryk
- I  $\$  P. apollo linnaei Bryk (Eine überzählige Ader im linken Hinterflügel zwischen  $M_2$  und  $M_3$ , mit als Folge eine sehr lange Medianozelle mit 3 weissen Kernen)

- 1 & P. apollo marcianus Pag.
- 1 & P. apollo luit poldus Fruhst.
- 1 & P. epaphus poeta Oberth.
- 1 ♂ P. jacquemontii himalayensis Elwes
- 1  $\delta$  3  $\mathcal{P}$ . mnemosyne hartmanni Stdfs.
- 2 & P. apollo claudius Belling
- 1 & P. mnemosyne wagneri Bryk
- 1 & P. apollo bartholomäus Stich.
- 1 & P. tianchanicus thiseus Ehrman
- 1  $\mathcal{P}$ . apollo rubidus Fruhst.
- 1 & P. apollo pyrenaicus Harc.
- I & P. phoebus sayi Edw.
- 1 & P. apollo valesiacus Fruhst.
- 1 & P. apollo omotimoius Fruhst.

## ATROPHIA

- f. bemmeleni Bryk = Apexdiscus offen
- 1 & P. jacquemontii diana Bryk
- f. primamedia-extincta Bryk & Eisner = M<sub>1</sub> fehlt im Vorderflügel
- 1 & P. mnemosyne wagneri Bryk
- f. M<sub>2</sub> und M<sub>3</sub> fehlen im Vorderflügel:
- 1 & P. apollo rubidus Fruhst., Holotypus (gleichzeitig f. seitzi Bryk)
- f. l. Discus offen zwischen M2 und M3, R4 fehlt, M1, M2, Cu1 peroneur.
- 1 & P. mnemosyne dinianus Fruhst.
- f. ferdinandi Bryk
- 1 & P. apollo rubidus Fruhst. (gleichzeitig Cu<sub>1</sub> und Cu<sub>2</sub> peroneur)
- f. M2 fehlt im Hinterflügel
- 1 & P. apollo leovigildus Fruhst.
- f. Cu<sub>1</sub> fehlt
- 1 & P. apollo marcianus Pag.
- 1 & P. apollo wenzeli Bryk (+ M2 im Vorderflügel)

## Allgemeine Atrophie des Hinterflügels:

1 & P. apollo linnaei Bryk

- 1  $\mathcal{P}$ . apollo rhaeticus Fruhst.
- 1 & P. apollo lithographicus Bryk
- 1 ♀ P. mnemosyne ugrjumovi Bryk
- 1 ♀ P. epaphus gautama Bryk & Eisner
- 1  $\mathcal{P}$ . mnemosyne ariovistus Fruhst.

#### PERONEURA

M<sub>2</sub> verkümmert

т & P. glacialis Butler

## M<sub>3</sub> verkümmert

I & P. apollo L.

#### PLETHONEURA

- f. antintercubitalis Bryk = überzählige Rippe zwischen  $Cu_1$  und  $Cu_2$  im Vorderflügel
  - 1 & P. glacialis shikokuensis Bryk & Eisner (Ansatz beiderseitig)
  - f. ernae Bryk = R3 im Hinterflügel erhalten
  - $1 \circ P$ . phoebus sacerdos Stich.
  - 1 & P. apollo imperialis Bryk, R2 1. im Vorderflügel

# FURCULATIO

M<sub>3</sub> im Vorderflügel

- 1 & P. bremeri graeseri Honrath (rechts)
- 1 & P. clarius Eversm. (links)
- 1 & P. mnemosyne lithavia Bryk (links)
- 1 \( P. mnemosyne hartmanni Stdfs. (rechts)

## Cu<sub>1</sub> im Vorderflügel

- 1 & P. mnemosyne compositus Bryk & Eisner (links)
- f. reuteri Bryk = R<sub>5</sub> (+ M<sub>1</sub>) im Hinterflügel gegabelt
- 1 & 3 ♀ P. mnemosyne hartmanni Stdfs.
- I  $\mathcal{P}$  P. mnemosyne lithavia Bryk
- 1 & P. mnemosyne turatii Fruhst.
- 1 & P. mnemosyne mixtus Fruhst.

## M<sub>1</sub> gegabelt

1 & P. bremeri ellenae Bryk

264

1 3 P. apollo bartholomaeus Stich.

## M<sub>3</sub> gegabelt

- I & P. apollo rubidus Fruhst.
- 1 9 P. mnemosyne memnon Bryk & Eisner
- f. postprimocubitalis Bryk & Eisner = Cu<sub>1</sub> im Hinterflügel gegabelt
- 1 & P. mnemosyne fruhstorferi Trti.
- 1  $\mathcal{P}$ . mnemosyne lithavia Bryk
- 1 & P. nivatus Fruhst. im Vfl.  $R_5$ ,  $M_1$  links,  $Cu_1$ , im Hfl.  $Cu_2$  + Querrippe  $R_5$ - $M_1$ .

#### CLATHRONEURA

Überzählige Querrippe zwischen  $M_2$  und  $M_3$  und  $M_3$  und  $M_3$  und  $M_4$  im Vorderflügel

1 & P. apollo pedemontanus Fruhst.

Sc und R<sub>1</sub> im Hinterflügel

- 1 & P. mnemosyne hartmanni Stdfs.
- 1 \( P. \) mnemosyne dejotarus Fruhst.

# M2 und M3 im Hinterflügel

- 1 & P. apollo bartholomaeus Stich.
- f. clathratus Bryk =  $R_4$ - $R_5$  (+  $M_1$ )
- 2 & 1 ? P. mnemosyne hartmanni Stdfs.
- 1 & P. mnemosyne memnon Brk. & Eis.
- 1 & P. mnemosyne athene Stich.

## AREOLATIO

- f. haudeanus Bryk = Entstehen einer langen Zelle zwischen  $R_5$  und  $M_1$  durch Querader
  - 1 ♀ P. glacialis Butler
  - 1 & P. mnemosyne leonhardiana Fruhst.
  - 1  $\mathcal{P}$ . mnemosyne turatii Fruhst.
  - 1  $\mathcal{P}$ . mnemosyne lithavia Bryk
  - I  $\mathcal{P}$ . mnemosyne hartmanni Stdfs.
  - 1  $\mathcal{P}$ . apollo pyrenaicus Harc.
  - 1 & P. clodius claudianus Stich.

- f. dreifache Zellbildung: zwischen unterer Discoidale des Hinterflügels und Cu<sub>1</sub>
  - I & P. apollo nivatus Fruhst. zwischen  $M_1$  und  $M_3$  des Vorderflügels
  - 1 & P. mnemosyne lithavia Bryk
  - f. aureolata Bryk & Eisner = Zelle zwischen M<sub>1</sub> und M<sub>2</sub> im Hinterflügel
  - 1 & K. delphius albulus Honr.
  - I & P. apollo tridentina Dannehl
  - t. Zelle im Discus des rechten Hinterflügels zwischen M3 und Cu1
  - 1 & K. delphius infernalis Stdgr.
  - f. rechter Hinterflügeldiscus durch Verlängerung von Cu<sub>1</sub> geteilt
  - 1 & P. phoebus expectatus Fruhst.

#### COMBINATIONEN

- 1 & P. glacialis naganoensis Bryk & Eisner
- mit zwei kleinen Areolas zu beiden Seiten des Discusapex im rechten Vorderflügel.
  - 1 & P. orleans lictor Bryk & Eisner
- mit starken Verwachsungen der Rippen im rechten Vorderflügel, die vier Zellen bilden.

## DIDIMOSIS

- 1 & P. phoebus ellenae Bryk
- mit Ansatz eines Zwillingsflügels am Apex des linken Vorderflügels.
- I & P. apollo melliculus Stich.
- mit rechtem Zwillingsvorderflügel (Diplasiasmus).

Damit bin ich an das Ende der "Kritische Revision der Gattung Parnassius" gekommen, die Bryk und ich im Jahre 1930 begonnen haben. Obwohl darin alle aus der Litteratur bekannten Daten und alles verfügbare Material eine möglichst vollständige Berücksichtigung gefunden haben, kann dieses "Ende" für mich keinen Abschluss bedeuten. Ich habe die Absicht, die Erkenntnisse, die ich beim Studium dieser Materie gewonnen habe, in einer ergänzenden Arbeit zu veröffentlichen.

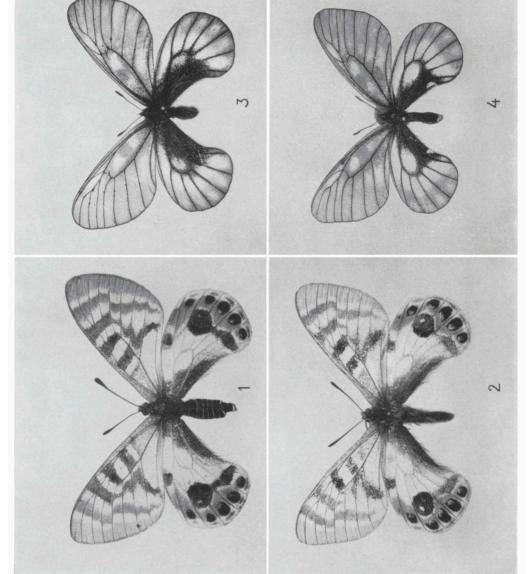
Beiliegend die Abbildungen der Typen verschiedener in früheren Abhandlungen beschriebener subspecies.

#### TAFEL IX

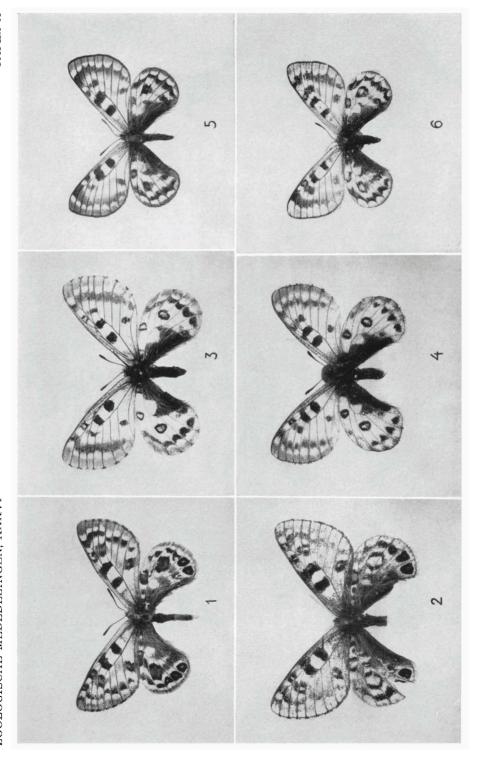
- Fig. 1. Koramius charltonius Gray subsp. robert-jan Eisner. Chitral sept., Hindukush, Baroghil Pass, 3800 m, Juli. 4 Allotype.
- Fig. 2. Koramius charltonius Gray subsp. robert-jan Eisner. Chitral sept., Hindukush, Baroghil Pass, 3800 m, Juli. & Holotype.
- Fig. 3. Parnassius glacialis Butler subsp. janine Eisner. Mt. Fujiwara, Mie Prefecture, Japan, 1000 m, 9. VI. 1957. & Holotype.
- Fig. 4. Parnassius glacialis Butler subsp. janine Eisner. Mt. Fujiwara, Mie Prefecture, Japan, 1100 m, 1. VI. 1958. Allotype.

#### TAFEL X

- Fig. 1. Tadumia przewalskii Alph. subsp. yvonne Eisner. Wildyakzone, Tibet, 95° ö. L., 35° n. B., ca. 4500 m, 29. VI. 1935, H. Höne. Q Allotype.
- Fig. 2. Tadumia przewalskii Alph. subsp. yvonne Eisner. Südlichstes Steppenland, Tibet, 98° ö. L., 32,5° n. B., 4300 m, 17. VII. 1935, H. Höne. & Holotype.
- Fig. 3. Parnassius epaphus Oberthür subsp. rené Eisner. Ludarwas Ganj, N. of Sonamarg, N. E. Kashmir, 14,300 ft., 11-13. VIII. 1956, Colin Wyatt. Q Holotype.
- Fig. 4. Parnassius epaphus Oberthür subsp. rené Eisner. Ludarwas Ganj, N. of Sonamarg, N. E. Kashmir, 14,300 ft., 11-13. VIII. 1956, Colin Wyatt. & Allotype.
- Fig. 5. Tadumia simo Gray subsp. lise Eisner. Wildyakzone, Tibet, ca. 95° ö. L., 35° n. B., 5000 m Grenze, 29. VI. 1935, H. Höne. & Holotype.
- Fig. 6. Tadumia simo Gray subsp. lise Eisner. Wildyakzone, Tibet, ca. 95° ö. L., 35° n. B., 5000 m Grenze, 29.VI. 1935, H. Höne. Allotype.



ZOOLOGISCHE MEDEDELINGEN, XXXVI



ZOOLOGISCHE MEDEDELINGEN, XXXVI